

Qu'estiment vraiment les bandelettes en traitement d'images ?

Bandelettes, sélection de modèles et maxisets

E. Le Pennec / LPMA / Université Denis Diderot - Paris VII

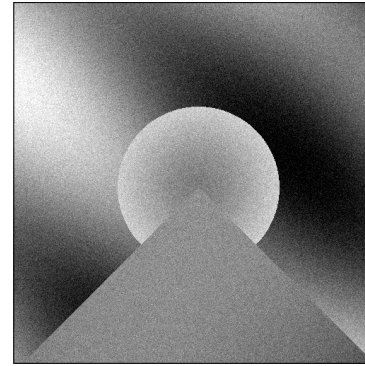
S. Mallat, Ch. Dossal et G. Peyré,

F. Autin, J.-M. Loubes et V. Rivoirard

17 Octobre 2006

Estimation, Géométries et Bandelettes

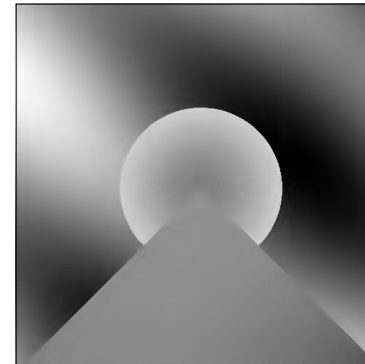
Bruitée



Estimation

Sans géométrie

Avec géométrie



- Estimation dans un modèle de bruit blanc gaussien : $Y = f + \epsilon W$.
- Estimation de f dans des bases : seuillage et sélection de modèles.
- Nécessité d'avoir une représentation creuse (approximation, maxiset).
- Efficacité provient d'une forme de régularité.
- Images : importance de la géométrie.
- Estimation géométrique des images en bandelettes.

Plan

- Estimation dans une base et approximation.
- Signaux 1D : Fourier et ondelettes.
- Images 2D et ondelettes.
- Représentation des images géométriques.
- Bandelettes pour les images géométriques.
- Sélection de modèles et optimalité.
- Bases multiéchelles de bandelettes.

Estimation et modèle de bruit blanc

- Modèle de bruit blanc :

$$dY = f(t)dt + \epsilon dW \quad .$$

- Dans la suite, projection sur un espace de dimension N et calibrage $\epsilon = \frac{1}{\sqrt{N}}$ (lien avec la régression) :

$$Y = f + \frac{1}{\sqrt{N}}W \quad .$$

- Propriétés de f : propriétés dans le domaine continu.
- Estimateur de F : fonction de Y .
- Critère : risque quadratique

$$E(\|f - F\|^2)$$

Estimation oracle dans une base

- Décomposition de $Y = f + \frac{1}{\sqrt{N}}W$ dans une base orthonormée

$$Y = \sum_{b_n} \langle Y, b_n \rangle b_n = \sum_{b_n} \left(\langle f, b_n \rangle + \frac{1}{\sqrt{N}} \langle W, b_n \rangle \right) b_n \quad .$$

- Estimateur F par sélection de coordonnées :

$$F = Y_\Gamma = \sum_{n \in \Gamma} \langle Y, b_n \rangle b_n \quad .$$

- Minimisation du risque quadratique :

$$E(\|f - F\|^2) = \sum_{n \notin \Gamma} |\langle f, b_n \rangle|^2 + \sum_{n \in \Gamma} \frac{1}{N} \quad .$$

- Solution : $\Gamma_O = \{n, |\langle f, b_n \rangle| \geq \frac{1}{\sqrt{N}}\}$ et $F_O = Y_{\Gamma_O}$.

- Problème : demande la connaissance de f ! (Oracle \neq estimateur)

Oracle, risque et approximation

- Risque quadratique de l'estimateur oracle F_O :

$$E(\|f - F_O\|^2) = \sum_{n \notin \Gamma_O} |\langle f, b_n \rangle|^2 + \sum_{n \in \Gamma_O} \frac{1}{N}$$

$$E(\|f - F_O\|^2) = \|f - f_{\Gamma_O}\|^2 + \frac{1}{N} |\Gamma_O| \quad .$$

- Compromis entre erreur d'approximation et nombre de termes.
- Théorie de l'approximation :

$$E(\|f - F_O\|^2) = \|f - f_{\Gamma_O}\|^2 + \frac{1}{N} |\Gamma_O| \leq C \left(\frac{1}{N} \right)^{\frac{\beta}{\beta+1}}$$

$$\Leftrightarrow \|f - f_M\|^2 \leq CM^{-\beta} \Leftrightarrow f \in \mathcal{A}^\beta \quad .$$

- Minimax : pour Θ , classe de fonctions, quelle base donne $\Theta \subset \mathcal{A}^\beta$ avec β optimal ? $\left(\frac{1}{N} \right)^{\frac{\beta}{\beta+1}}$ vitesse minimax).
- Maxiset : pour une base fixée, quelle est l'ensemble des fonctions estimées avec une vitesse $\left(\frac{1}{N} \right)^{\frac{\beta}{\beta+1}}$? Ici \mathcal{A}^β .

Estimateur par seuillage

- Oracle : $\Gamma_O = \{n, |\langle f, b_n \rangle| \geq \frac{1}{\sqrt{N}}\}$ et $F_O = Y_{\Gamma_O}$.
- Stratégie : garder les grands coefficients.
- Seuillage : $\Gamma_S = \{n, |\langle Y, b_n \rangle| \geq T \left(\frac{1}{\sqrt{N}}\right)\}$ et $F_S = Y_{\Gamma_S}$.
- **Théorème (Donoho, Johnstone)** : Si $T \left(\frac{1}{\sqrt{N}}\right) = \lambda \sqrt{\frac{\log N}{N}}$, alors

$$E(\|f - F_S\|^2) \leq C(\log N)E(\|f - F_O\|^2)$$

$$E(\|f - F_S\|^2) \leq C \min_{\Gamma} \|f - f_{\Gamma}\|^2 + \lambda^2 \frac{\log N}{N} |\Gamma| \quad \text{plus fin.}$$

- **Théorème (Maxiset) (Cohen, DeVore, Kerkycharian, Picard)** :

$$E(\|f - F_S\|^2) \leq C \left(\frac{\log N}{N}\right)^{\frac{\beta}{\beta+1}} \Leftrightarrow f \in V_{\frac{2\beta}{\beta+1}}^*$$

$$\Leftrightarrow \min_{\Gamma} \|f - f_{\Gamma}\|^2 + \lambda^2 T^2 |\Gamma| \leq C(T^2)^{\frac{\beta}{\beta+1}}$$

$$\Leftrightarrow \|f - f_M\|^2 \leq CM^{-\beta} \Leftrightarrow f \in \mathcal{A}^{\beta} .$$

- Importance du choix de la base !

Fonctions C^α et Fourier

- Approche minimax pour les fonctions C^α .
- Fonctions C^α : vitesse minimax $(\frac{1}{N})^{\frac{2\alpha}{2\alpha+1}}$ ($\beta = 2\alpha$).
- Approximation dans la base de Fourier :

$$\|f - f_M\|^2 \leq CM^{-2\alpha} .$$

- Seuillage dans la base de Fourier :

$$E(\|f - F_S\|^2) \leq C \left(\frac{\log N}{N} \right)^{\frac{2\alpha}{2\alpha+1}} .$$

- Vitesse quasi optimale !

- Approche maxiset pour les vitesses $(\frac{\log N}{N})^{\frac{2\alpha}{2\alpha+1}}$:

$$E(\|f - F_S\|^2) \leq C \left(\frac{\log N}{N} \right)^{\frac{2\alpha}{2\alpha+1}} \Leftrightarrow f \in \mathcal{A}^{2\alpha} = \mathcal{W}H^\alpha$$

avec $\mathcal{W}H^\alpha$ version faible de H^α .

- Minimax-Maxiset :

$$\forall f \in C^\alpha, E(\|f - F_S\|^2) \leq C \left(\frac{\log N}{N} \right)^{\frac{2\alpha}{2\alpha+1}} \Leftrightarrow C^\alpha \subset \mathcal{W}H^\alpha .$$

Fonctions C^α par morceaux et Fourier

- Fonctions C^α par morceaux : vitesse minimax $(\frac{1}{N})^{\frac{2\alpha}{2\alpha+1}}$ ($\beta = 2\alpha$).
- Approximation dans la base de Fourier ($\alpha > 1$) :

$$\|f - f_M\|^2 \leq CM^{-2} .$$

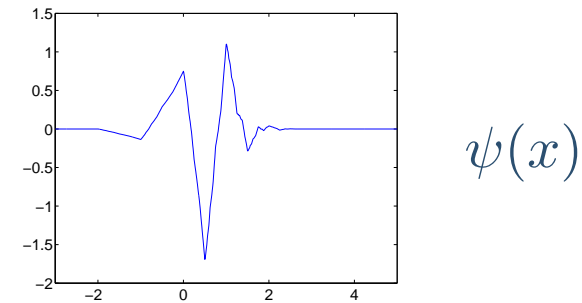
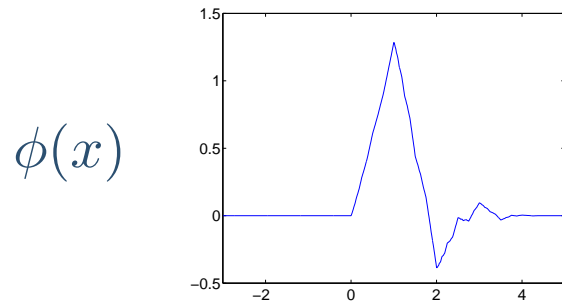
- Seuillage dans la base de Fourier ($\alpha > 1$) :

$$E(\|f - F_S\|^2) \leq C \left(\frac{\log N}{N} \right)^{\frac{2}{2+1}} .$$

- Maxiset : C^α par morceaux $\subset \mathcal{A}^2 = \mathcal{W}H^1$.
- mais C^α par morceaux $\not\subset \mathcal{A}^{2\alpha} = \mathcal{W}H^\alpha$.
- Pour obtenir la vitesse minimax, C^α par morceaux $\subset \mathcal{A}^{2\alpha}$.
- Besoin d'autres bases pour atteindre la vitesse minimax !

Base d'ondelettes 1D de $L^2[0, 1]$

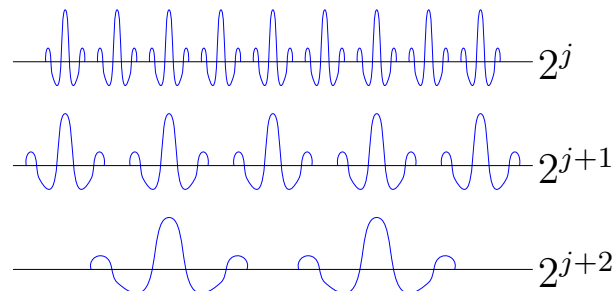
- Construite à partir d'une fonction d'échelle $\phi(x)$ et d'une ondelette mère $\psi(x)$



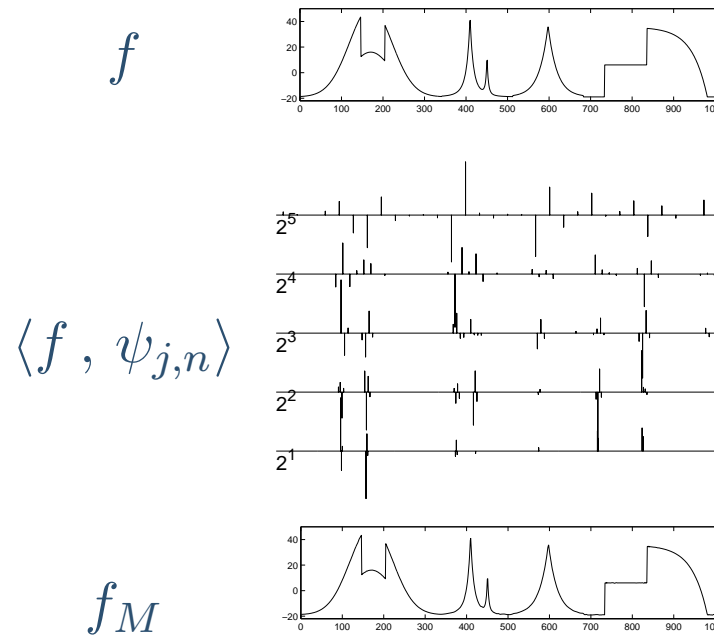
qui sont dilatées par 2^j et translatées de $2^j n$

$$\phi_{j,n}(x) = \frac{1}{\sqrt{2^j}} \phi\left(\frac{x - 2^j n}{2^j}\right) \quad , \quad \psi_{j,n}(x) = \frac{1}{\sqrt{2^j}} \psi\left(\frac{x - 2^j n}{2^j}\right) \quad .$$

- $\mathbf{B} = \left\{ \psi_{j,n} \right\}_{j \in \mathbb{N}, 2^j n \in [0,1)}$ est une base orthonormale de $L^2[0, 1]$.



Approximation non linéaire en ondelettes



- Si f est C^α par morceaux et ψ a $p > \alpha$ moments nuls alors

$$\|f - f_M\|^2 \leq C M^{-2\alpha} .$$

- Risque de l'estimateur par seuillage : $E(\|f - F_S\|^2) \leq C \left(\frac{\log N}{N}\right)^{\frac{2\alpha}{2\alpha+1}}$ (quasi optimal).

- Maxiset associé à la vitesse $\left(\frac{\log N}{N}\right)^{\frac{2\alpha}{2\alpha+1}}$ ($C, DV, K, P, Autin, Rivoirard$) :

$\mathcal{W}B_{2/(2\alpha+1), 2/(2\alpha+1)}^\alpha$ version faible de $B_{2/(2\alpha+1), 2/(2\alpha+1)}^{\beta/2}$.

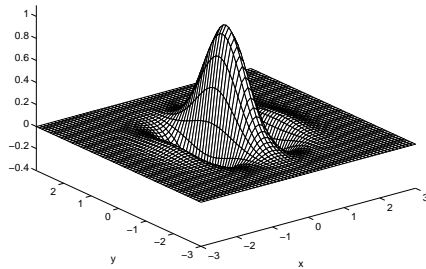
- Clé : C^α par morceaux $\subset \mathcal{W}B_{2,\infty}^\alpha$.

Base d'ondelettes 2D séparables

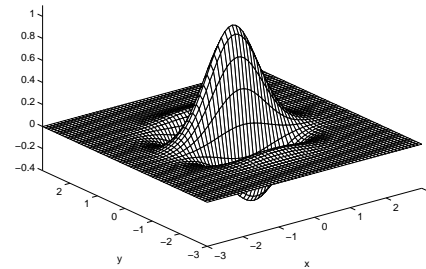
● La famille

$$\left\{ \begin{array}{l} \phi_{j,n_1}(x_1) \psi_{j,n_2}(x_2) \quad , \quad \psi_{j,n_1}(x_1) \phi_{j,n_2}(x_2) \\ \psi_{j,n_1}(x_1) \psi_{j,n_2}(x_2) \end{array} \right\}_{(j,n_1,n_2) \in \mathbb{Z}^3}$$

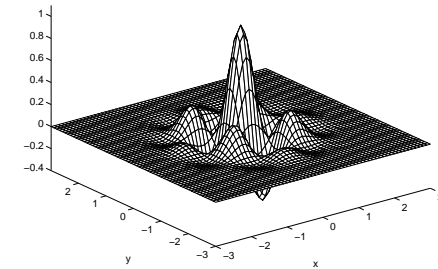
est une base orthonormée de $L^2[0, 1]^2$.



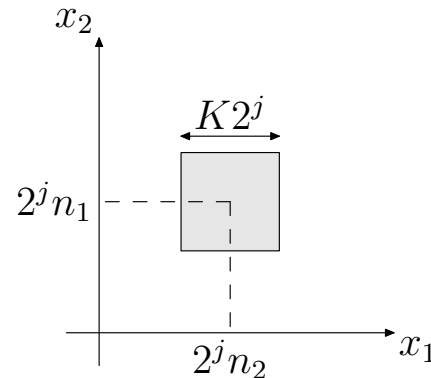
$$\phi_{j,n_1}(x_1) \psi_{j,n_2}(x_2)$$



$$\psi_{j,n_1}(x_1) \phi_{j,n_2}(x_2)$$



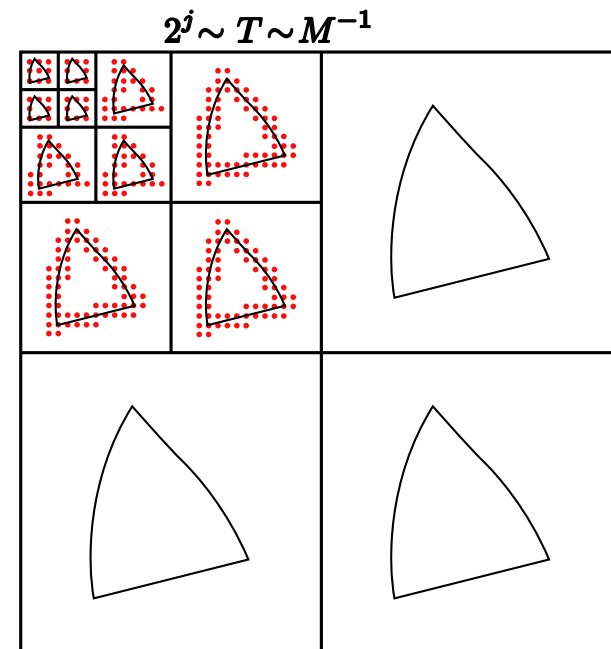
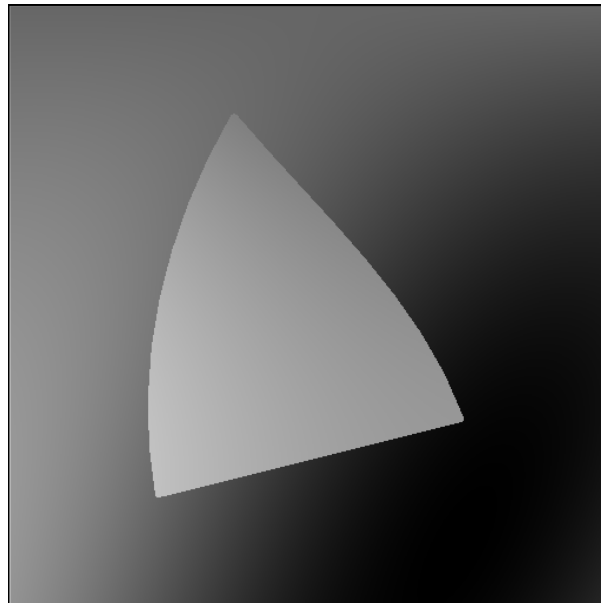
$$\psi_{j,n_1}(x_1) \psi_{j,n_2}(x_2)$$



Support
des ondelettes
isotropes

Seuillage en ondelettes 2D

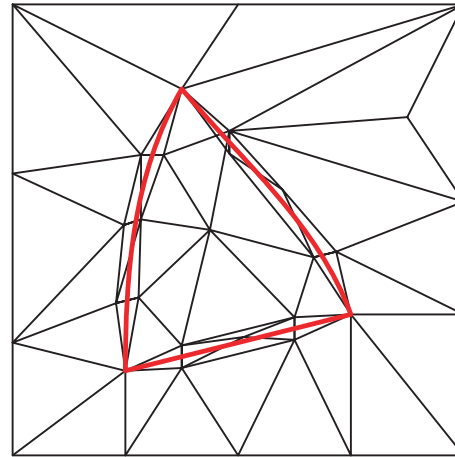
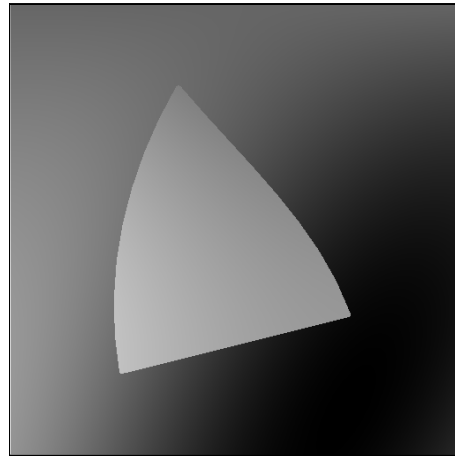
- Maxiset associé à la vitesse $\left(\frac{\log N}{N}\right)^{\frac{\beta}{\beta+1}}$: $\mathcal{A}^\beta = \mathcal{W}B_{2/(2\beta+1), 2/(2\beta+1)}^\beta$ avec $\mathcal{W}B_{p,q}^s$ version faible de $B_{p,q}^s$.
- Pour $f \in C^\alpha - C^\alpha$ (C^α en dehors de contours C^α) (Korostelev, Tsybakov) : vitesse minimax $\left(\frac{1}{N}\right)^{\frac{\alpha}{\alpha+1}}$ ($\beta = \alpha$).
- Pb : $C^\alpha - C^\alpha \not\subset \mathcal{W}B_{2/(2\alpha+1), 2/(2\alpha+1)}^\alpha$, au mieux $C^\alpha - C^\alpha \subset BV \subset \mathcal{W}B_{2/3, 2/3}^1$



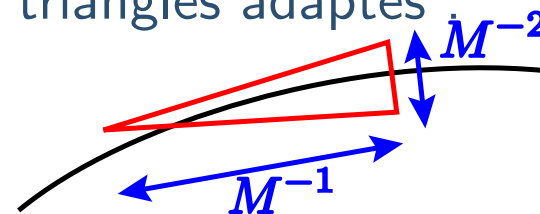
- Pb d'approximation : avec M ondelettes $\|f - f_M\|^2 \leq C M^{-1}$.
- Besoin de $\|f - f_M\|^2 \leq C M^{-\alpha}$ pour le risque minimax.

Éléments géométriques pour les contours

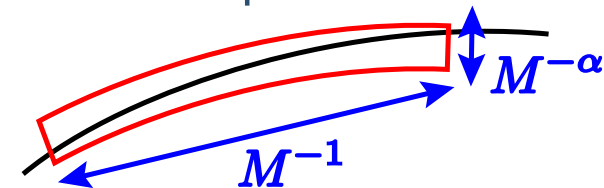
- Approximation de f qui est C^α en dehors de contours C^α :



- Approximation linéaire par morceau sur M triangles adaptés :
si $\alpha \geq 2$ alors $\|f - f_M\|^2 \leq C M^{-2}$.



- Approximation d'ordre élevé avec M "éléments" adaptés :
 $\|f - f_M\|^2 \leq C M^{-\alpha}$.



- Pas de bases et optimisation difficile.

Curvelets

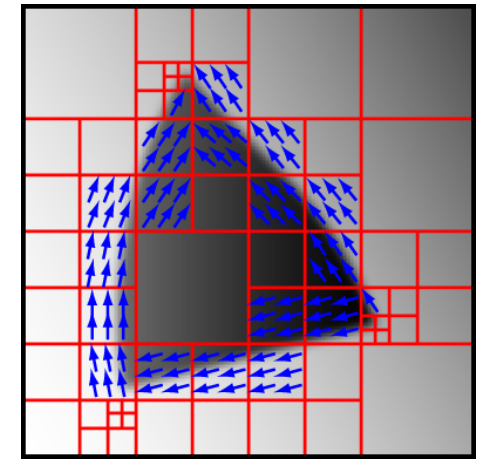
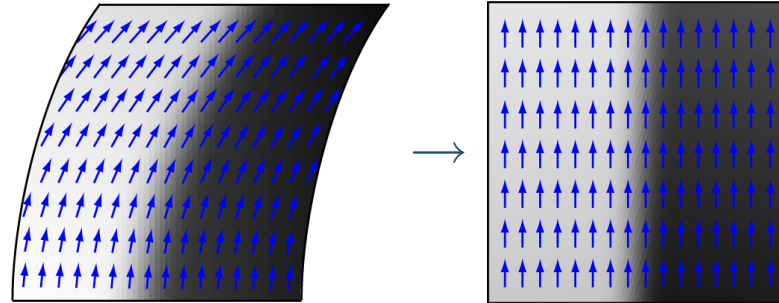
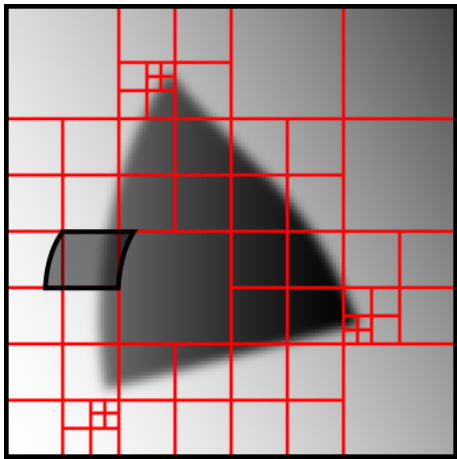


- Les curvelets définissent un “tight frame” de $L^2[0, 1]^2$ avec des éléments allongés et orientés (*Candes, Donoho*) : $\{c_j(R_\theta x - \eta)\}_{j,\theta,\eta}$
- Si f est $C^\alpha - C^\alpha$ alors avec M curvelets :

$$\|f - f_M\|^2 \leq C (\log M)^3 M^{-2} \quad \text{si } \alpha \geq 2.$$

- Quasi optimal pour $\alpha = 2$.
- Discrétisation complexe et difficultés pour obtenir des bases orthogonales ou des bases de Riesz.

Bandelettes



- Image $C^\alpha - C^\alpha$ simple par morceaux.
- Déformation locale \implies singularité verticale/horizontale .
- Bandelettes locales : préimage d'une base adaptée.
- Base de bandelettes définie par :
 - une segmentation dyadique et
 - une géométrie dans chaque carré.
- **Théorème** : Si f est $C^\alpha - C^\alpha$, alors, dans la meilleure base,

$$\|f - f_M\|^2 \leq C(\log M)M^{-\alpha} .$$

- Famille de bases avec un algorithme de recherche de meilleure base.

Seuillage et sélection de modèles

- Retour sur l'estimateur oracle.
- Risque oracle : $\Gamma_0 = \operatorname{argmin}_{\Gamma} \|f - f_{\Gamma}\|^2 + \frac{1}{N}|\Gamma|$.
- Analogue empirique : $\Gamma_S = \operatorname{argmin}_{\Gamma} \|Y - Y_{\Gamma}\|^2 + \frac{\lambda_N}{N}|\Gamma|$.
- Minimisation : $\Gamma_S = \{n, |\langle Y, b_n \rangle| \geq \sqrt{\frac{\lambda_N}{N}}\}$ (seuillage) et $F_S = Y_{\Gamma_S}$.
- Cadre de la sélection de modèles avec $\operatorname{pen}(m) = \frac{\lambda_N}{N} \dim(m)$:

$$F_S = \operatorname{argmin}_{P_m Y, m \in \mathcal{M}_N} \|Y - P_m Y\|^2 + \operatorname{pen}(m) \quad .$$

- Collection \mathcal{M}_N des modèles m : ensemble des sous-espaces engendrés par les N vecteurs de base.
- **Théorème (Barron, Birgé, Massart)** : Pour $\lambda_N = \lambda \log N$ avec λ assez grand,

$$E(\|f - F_S\|^2) \leq C \min_{m \in \mathcal{M}_N} \|f - P_m f\|^2 + \lambda \frac{\log N}{N} \dim(m) \quad .$$

- Cadre permettant de travailler dans plusieurs bases à la fois...

Sélection de modèles

- **Théorème (Barron, Birgé, Massart) :** Si la collection \mathcal{M}_N de modèles m satisfait une inégalité de Kraft pour des coefficients $\lambda_{N,m}$ ($\sum_{m \in \mathcal{M}_N} e^{-\lambda_{N,m} \dim(m)} < +\infty$) alors

$$F_S = \operatorname{argmin}_{P_m Y, m \in \mathcal{M}_N} \|Y - P_m Y\|^2 + (C_1 + C_2 \lambda_{N,m}) \frac{\dim(m)}{N}$$

satisfait

$$E(\|f - F_S\|^2) \leq C \min_{m \in \mathcal{M}_N} \|f - P_m f\|^2 + (C_1 + C_2 \lambda_{N,m}) \frac{\dim(m)}{N} .$$

- **Théorème (Maxiset) :**

$$E(\|f - F_S\|^2) \leq C \left(\frac{\lambda_N}{N} \right)^{\frac{\beta}{\beta+1}}$$

$$\Leftrightarrow \min_{m \in \mathcal{M}_N} \|f - P_m f\|^2 + (C_1 + C_2 \lambda_N) \frac{\dim(m)}{N} \leq C \left(\frac{\lambda_N}{N} \right)^{\frac{\beta}{\beta+1}}$$

$$\Leftrightarrow \min_{m \in \mathcal{M}_N} \|f - P_m f\|^2 + T^2 \dim(m) \leq C (T^2)^{\frac{\beta}{\beta+1}}$$

$$\Leftrightarrow \|f - f_M\|^2 \leq C M^{-\beta} \Leftrightarrow f \in \mathcal{A}^\beta .$$

Estimation géométrique

- Contrôle polynomial en fonction de N sur le nombre total de bandelettes.
- Sélection de bandelettes :

$$F_S = \operatorname{argmin} \|Y - P_{\mathcal{M}}Y\|^2 + \lambda \frac{\log N}{N} \dim(\mathcal{M})$$

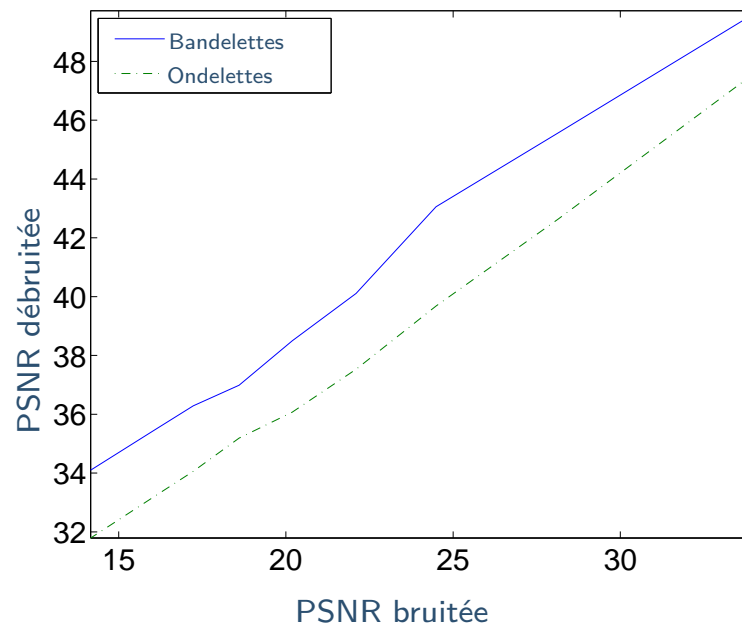
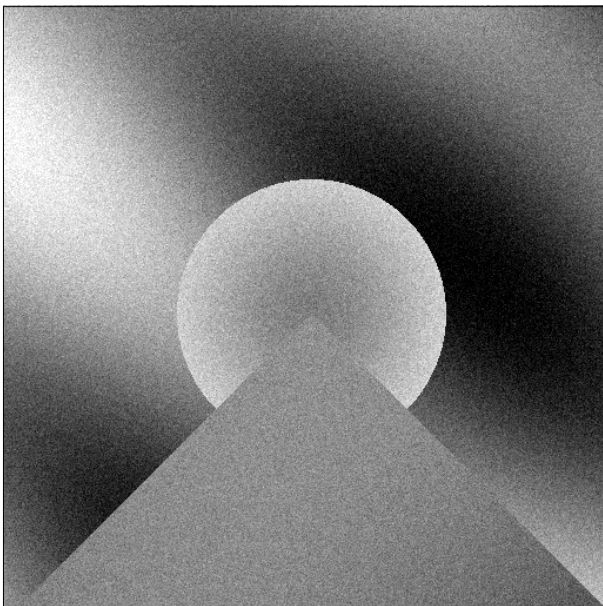
avec \mathcal{M} qui contient les sous-espaces des bases de bandelettes.

- Minimisation à 2 étages :
 - à base fixée, seuillage (facile),
 - recherche de meilleure base (difficile).
- Structure hiérarchique de la partition et additivité de la fonction à minimiser :
algorithme de meilleure base de Wickerhauser (CART).
- Exploration exhaustive des géométries dans chaque carré.
- Quasi optimalité : si $f \in \mathbf{C}^\alpha - \mathbf{C}^\alpha$ alors

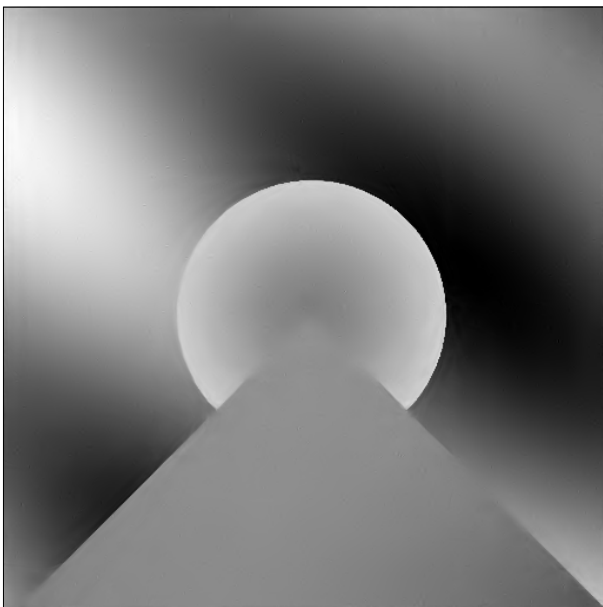
$$E(\|f - F_S\|^2) \leq C \left(\frac{\log N}{N} \right)^{\frac{\alpha}{\alpha+1}} .$$

- Maxiset :
$$E(\|f - F_S\|^2) \leq C \left(\frac{\log N}{N} \right)^{\frac{\alpha}{\alpha+1}} \Leftrightarrow f \in \mathcal{A}^\alpha \Leftrightarrow \forall M, \exists \mathcal{B}, \|f - f_M\|^2 \leq CM^{-\alpha} .$$

Bruitée (20,19 dB)



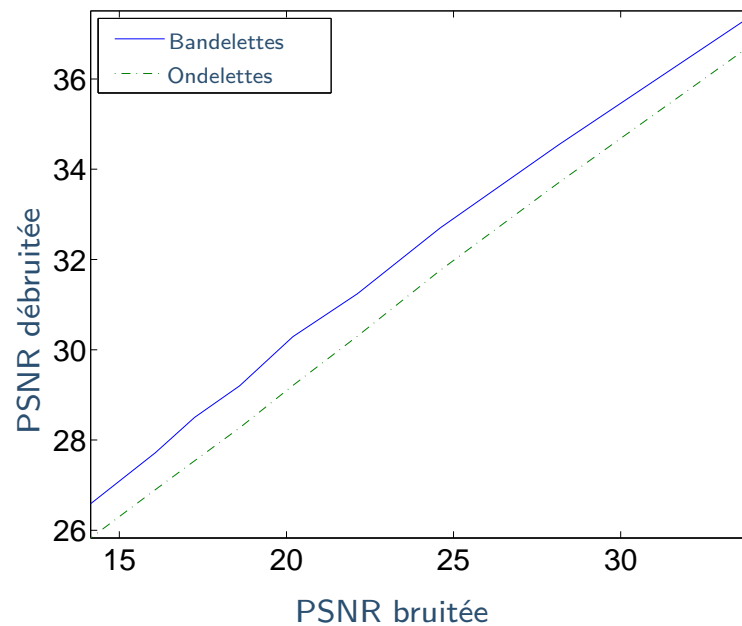
Bandelettes (30,29 dB)



Ondelettes (28,21 dB)



Bruitée (20,19 dB)



Bandelettes (30,29 dB)



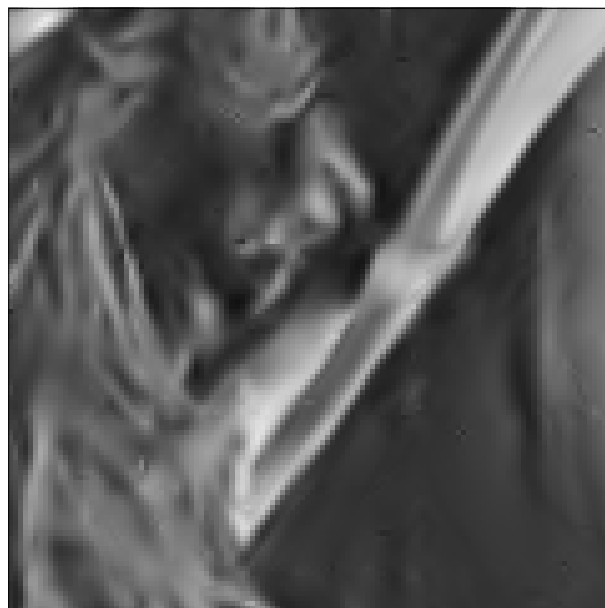
Ondelettes (28,21 dB)



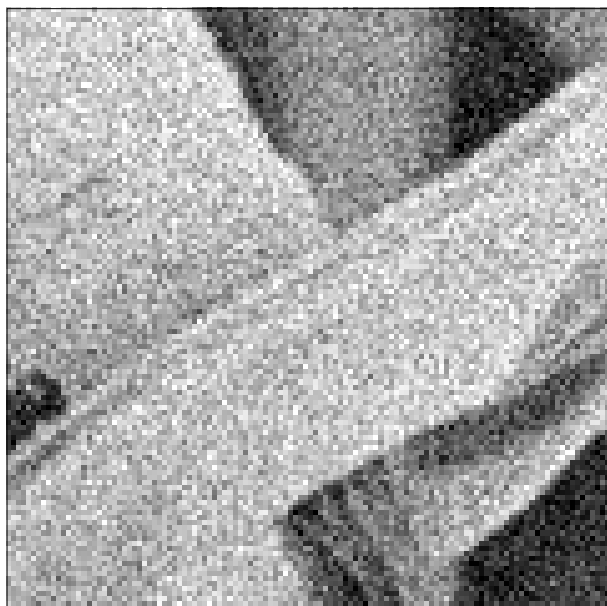
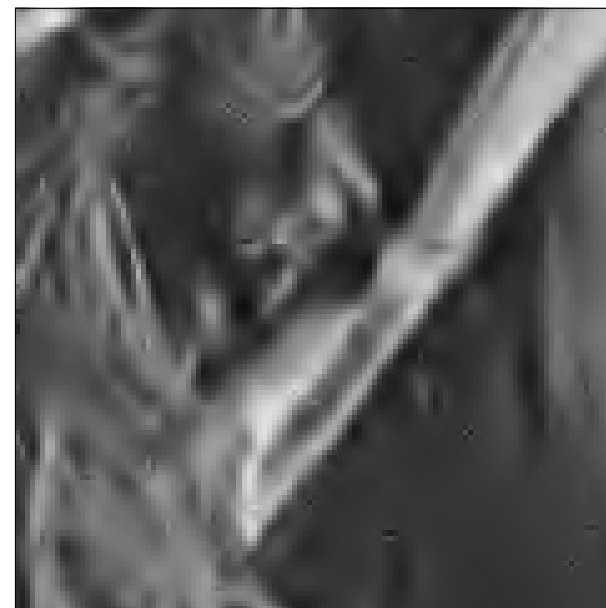
Bruitée



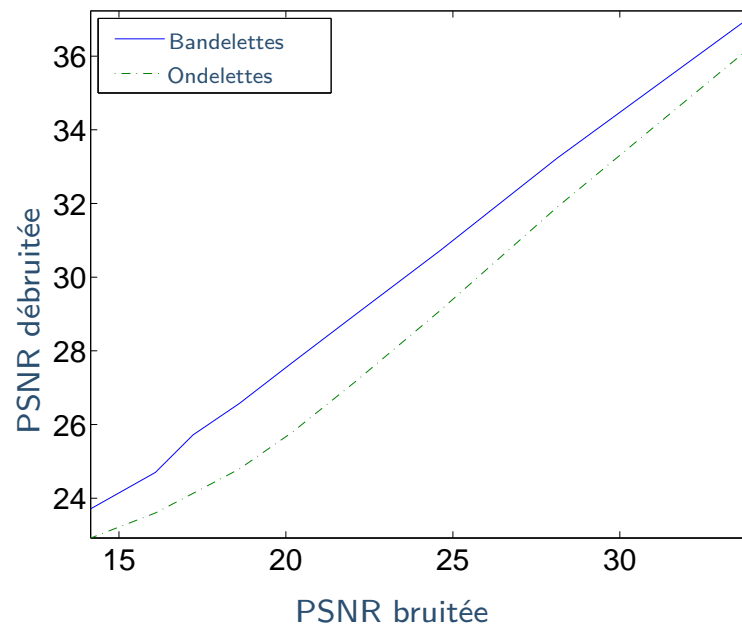
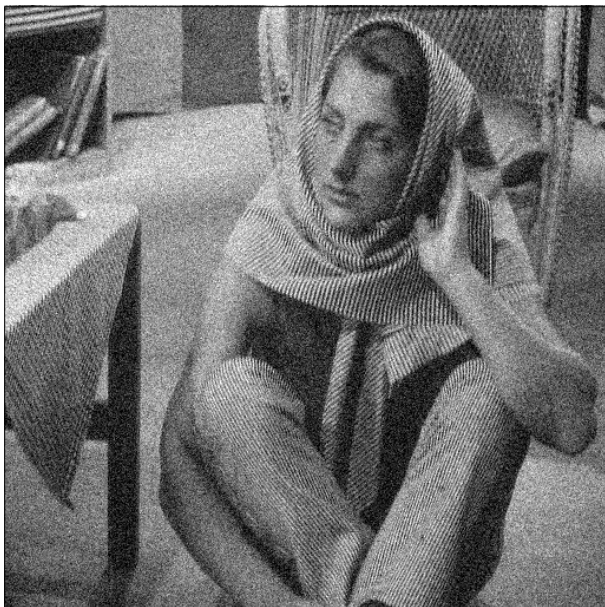
Bandelettes



Ondelettes



Bruitée (20,19 dB)



Bandelettes (27,68 dB)



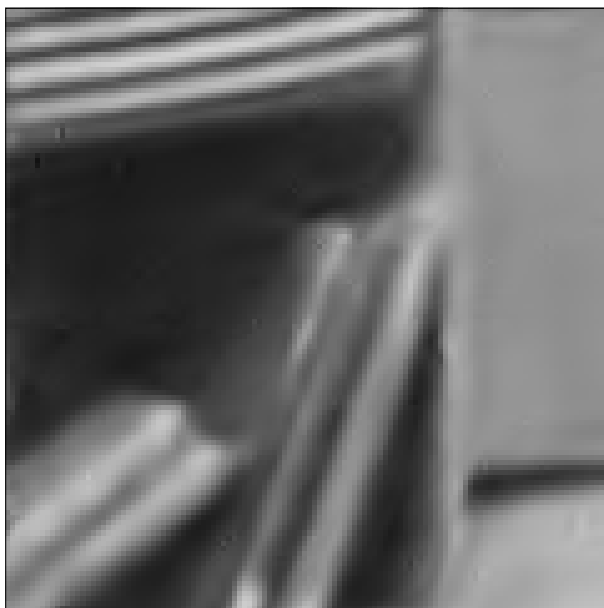
Ondelettes (25,79 dB)



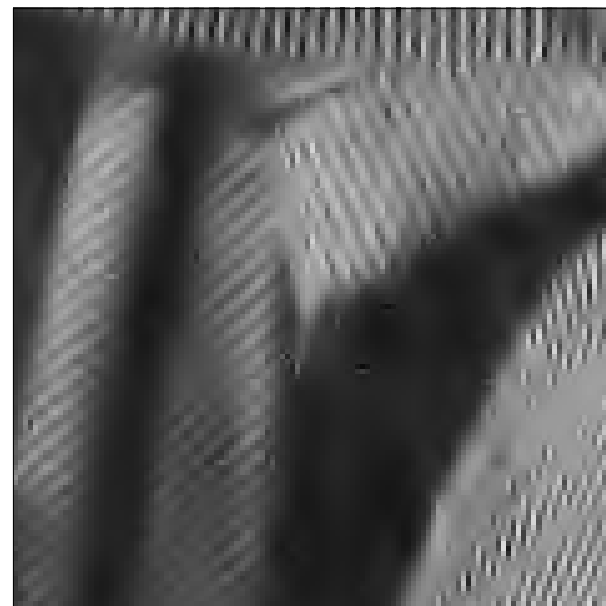
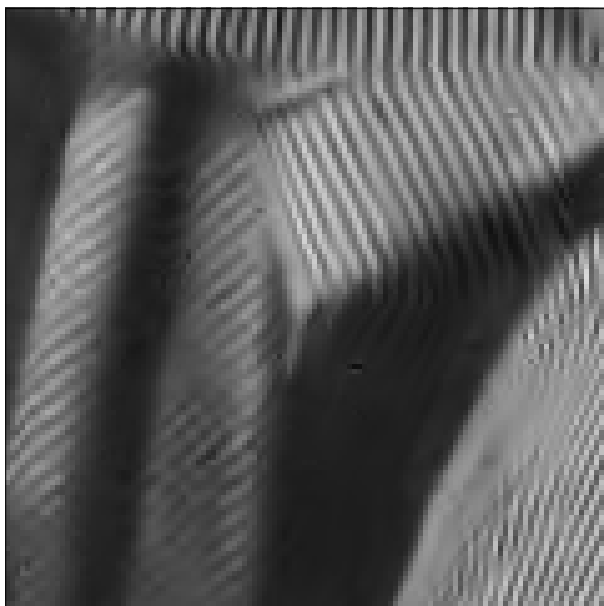
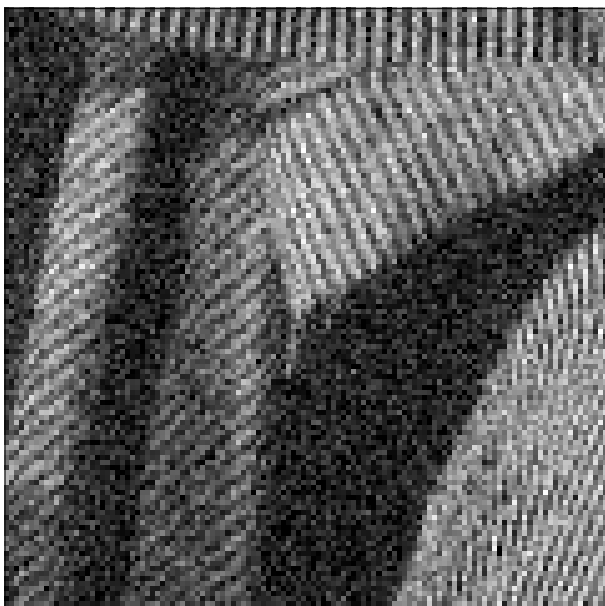
Bruitée



Bandelettes

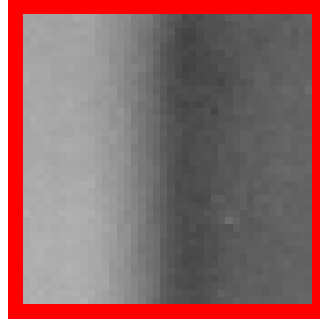
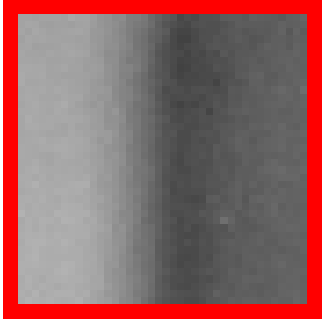


Ondelettes

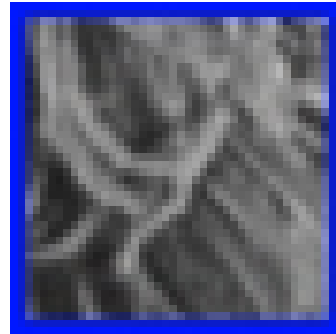
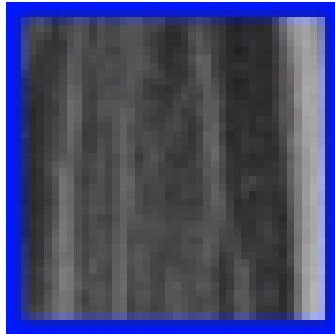
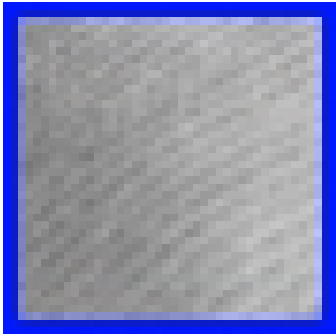


Vers des images plus naturelles

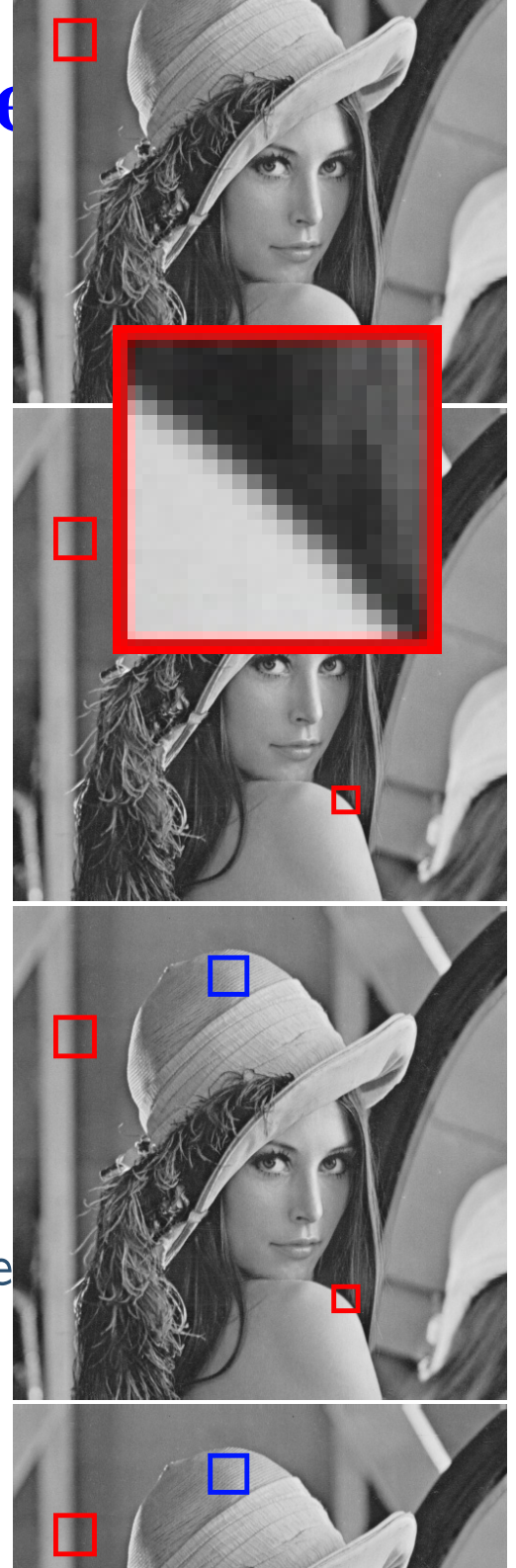
- Modèle $C^\alpha - C^\alpha$ simpliste.
- Les contours sont flous :



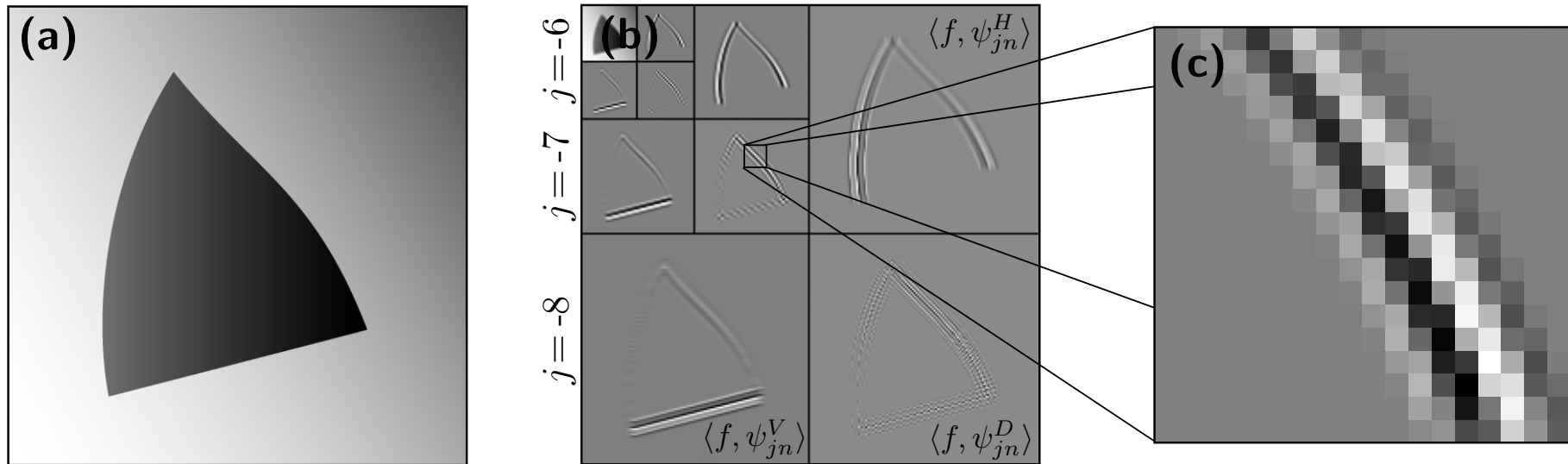
- Pas un problème pour les bandelettes.
- La géométrie vie à plusieurs échelles :



- Comment incorporer une géométrie multiéchelle ?
- Comment éviter les effets de bords sans perdre l'orthogonalité ?

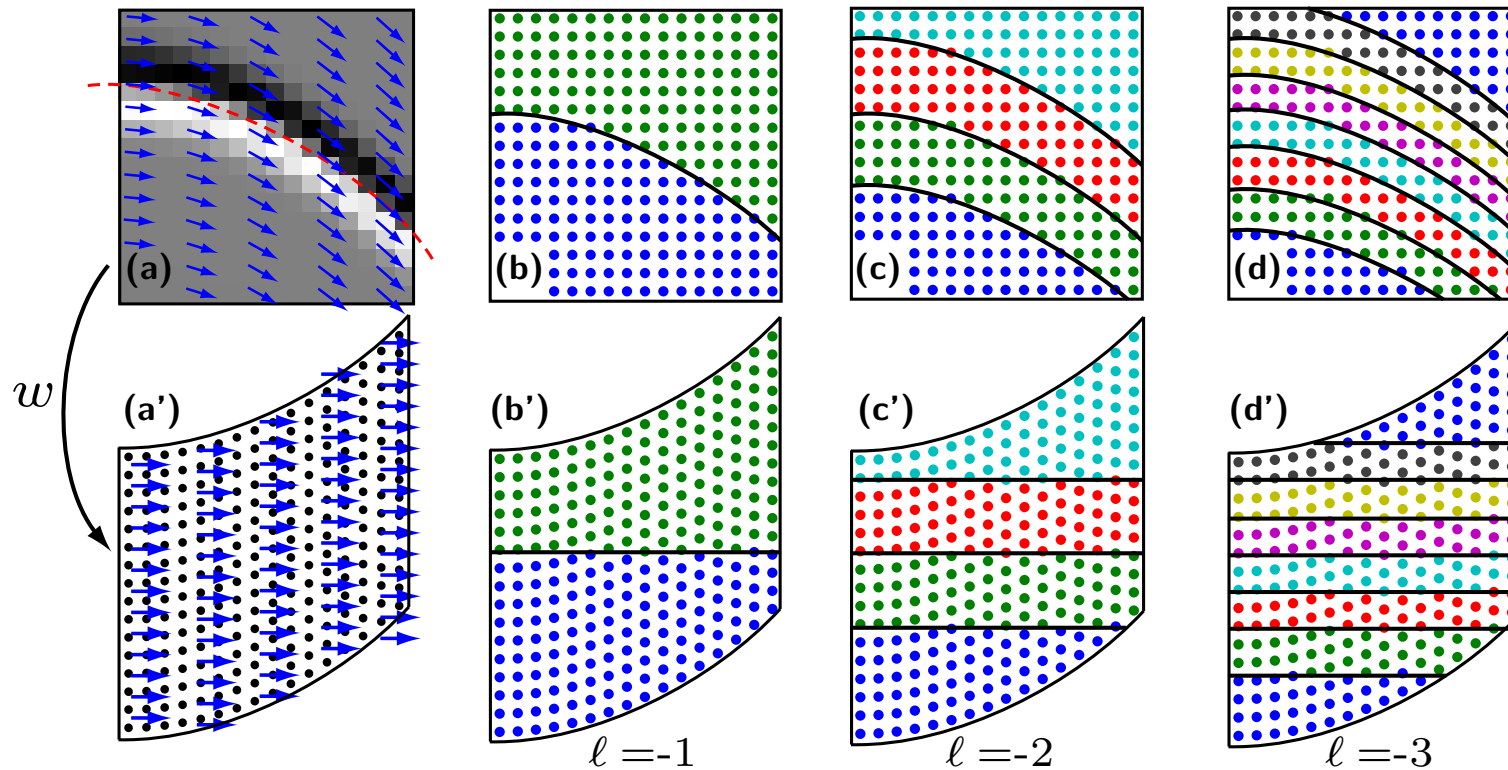


Retour vers les ondelettes



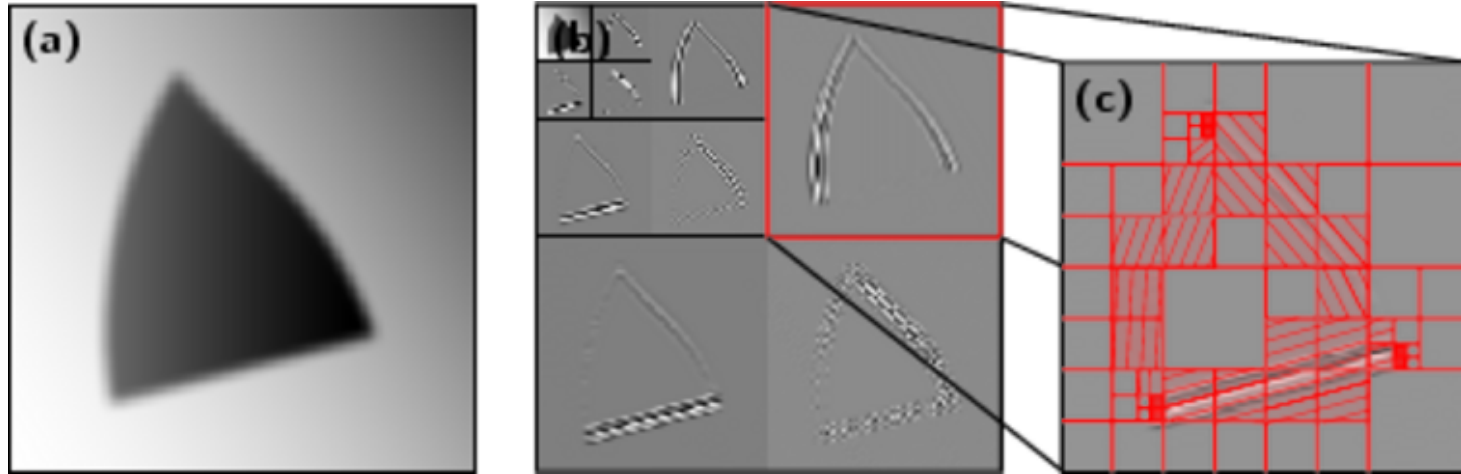
- Ondelettes : bonne représentation multiéchelles.
- Analogie avec le système visuel.
- Existence de régularité pour les coefficients d'ondelettes.
- Comment l'exploiter ?
- Utilisation du contexte dans JPEG 2000.
- Edgeprint (*Vetterli, Dragotti, Baraniuk*) : modélisation explicite dans le contexte du codage.
- Bandelettes sur les coefficients ?

Base locale de bandelettes



- Bandelettes 2G (*Peyré*) : Changement de base orthogonale adapté à la géométrie sur les coefficients d'ondelette.
- Multirésolution d'espaces d'approximations polynomiales par morceaux.
- Base des compléments orthogonaux de ces espaces (*Alpert*).
- Image des ondelettes par ce changement de bases : bandelettes 2G.

Base de bandelettes 2G



- Base de bandelettes :
 - segmentation dyadique des sous-bandes,
 - géométrie dans chaque carré.
- Algorithme d'optimisation par programmation dynamique (CART) de

$$\|f - f_M\|^2 + T^2 M \quad .$$

- **Théorème** : Si f est $C^\alpha - C^\alpha$, alors, dans la meilleure base,

$$\|f - f_M\|^2 \leq CM^{-\alpha}$$

Estimation en bandelettes 2G

- Contrôle polynomial en fonction de N sur le nombre total de bandelettes.
- Estimation par sélection de modèle :

$$F_S = \operatorname{argmin} \|Y - P_{\mathcal{M}}Y\|^2 + \lambda \frac{\log N}{N} \dim(\mathcal{M})$$

avec \mathcal{M} qui parcourt les sous-espaces d'une famille de bases de bandelettes 2G.

- Quasi optimalité : si $f \in \mathbf{C}^\alpha - \mathbf{C}^\alpha$ alors

$$E(\|f - F_S\|^2) \leq C \left(\frac{\log N}{N} \right)^{\frac{\alpha}{\alpha+1}} .$$

- Maxiset :

$$E(\|f - F_S\|^2) \leq C \left(\frac{\log N}{N} \right)^{\frac{\alpha}{\alpha+1}} \Leftrightarrow f \in \mathcal{A}^\alpha \Leftrightarrow \forall M, \exists \mathcal{B}, \|f - f_M\|^2 \leq CM^{-\alpha} .$$

- Conjecture : $f \in \mathcal{A}^\beta \Leftrightarrow \exists \mathcal{B}, \forall M, \|f - f_M\|^2 \leq CM^{-\beta}$!
- Expérimentation numérique en cours...

Conclusion

- Rôle central de l'approximation en traitement du signal via les bases (estimation, compression, ...).
- Nécessité d'avoir une représentation adaptée au signal.
- Pour les images, importance de la géométrie.
- Bandelettes : une représentation adaptée à la géométrie des images.
- Minimax ou Maxiset ? : quelles représentations pour un problème ou quels problèmes pour une représentations ?
- Qu'estiment bien les bandelettes ? Les images qui s'approchent bien en bandelettes !
- Problèmes ouverts :
 - Caractérisation fonctionnelle des espaces d'approximation en bandelettes.
 - Autres pénalisations (l_1, \dots).